

# Long-term dynamics of Cs in farmland

*Caesium Workshop: Fukushima recovery – understanding, modelling and managing radiocaesium decontamination*

30 Sept. to 3 Oct. 2013

CORASSE Fukushima, Fukushima, Japan

Session 3: Prediction of future distribution of Cs, with emphasis on non-decontaminated forest

Sadao Eguchi

Carbon & Nutrient Cycles Division  
National Institute for Agro-Environmental Sciences



Radio-Cs uptake by crops



Radio-Cs discharge from farmland

Recharge to other environments

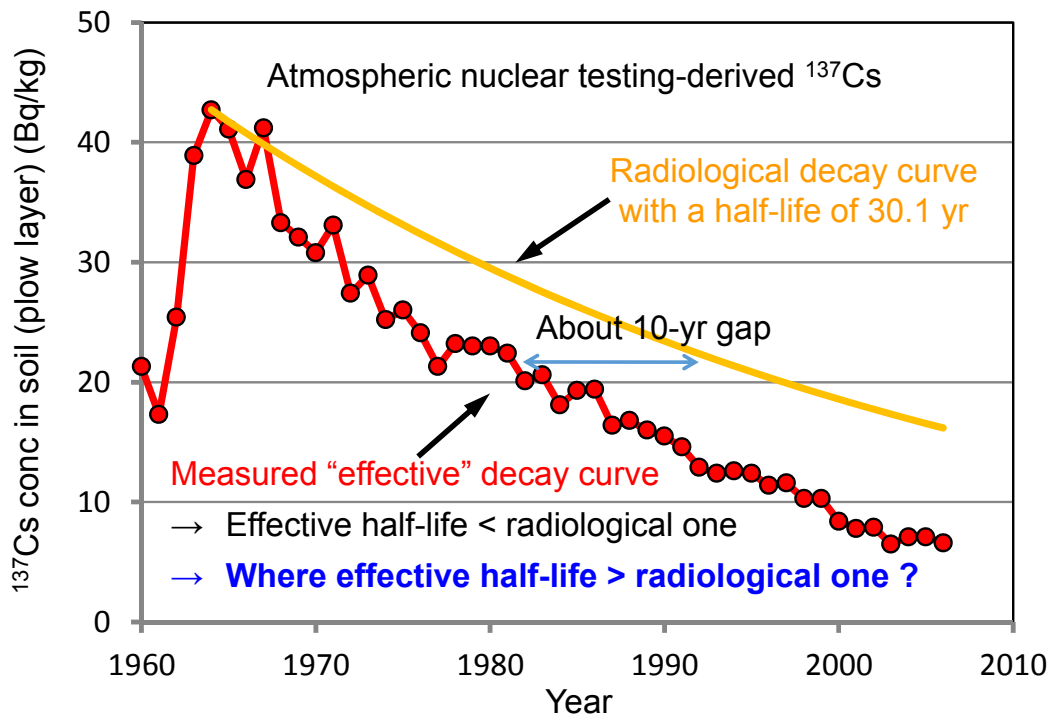
11 March 2011 TEPCO-NPP accident → Radio-Cs emitted to environment  
Brown rice produced in cropping lands in 2011 >500 Bq/kg (0.2% of total)  
“Yatsuda” (rice paddy fields located at narrow, gently sloping, small valleys)

Cause: Soil properties? Fertilizer? Some other agricultural management?  
Irrigation water Cs? Fallen leaves Cs? Atmospheric deposition Cs?

Understanding watershed-scale dynamics of radio-Cs is indispensable for explaining or predicting crop radio-Cs uptake in a farmland

# Global fallout $^{137}\text{Cs}$ conc in farmland soil

Average for 15 rice paddy fields in Japan

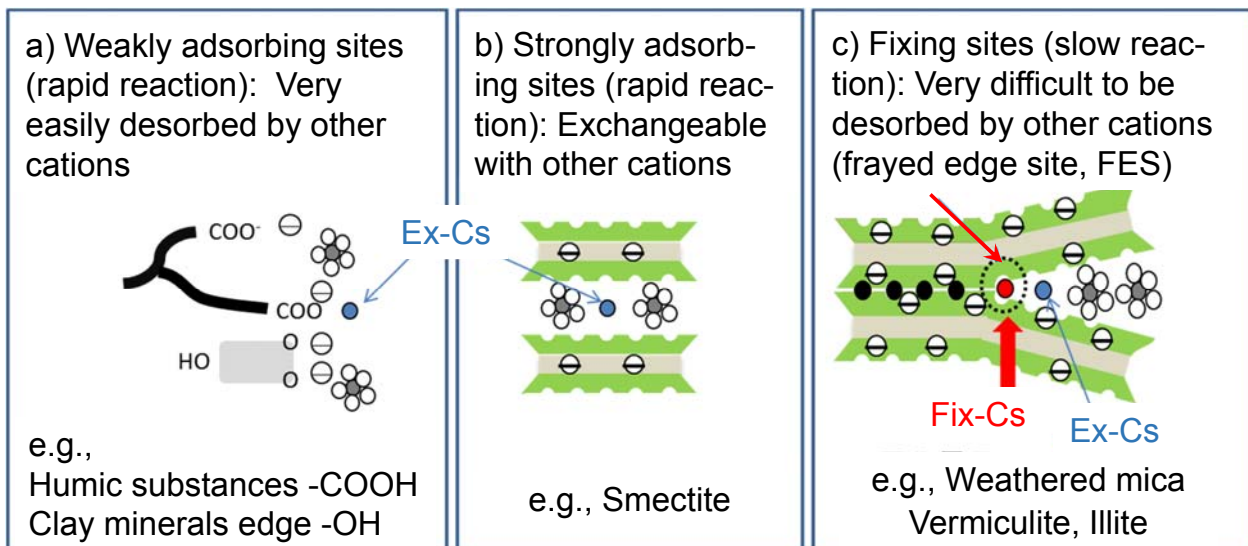


National Institute for Agro-Environmental Sciences



## Distribution & characteristics of radio-Cs in soil

- 1) Living or dead organisms: Emit soluble Cs by mineralization
- 2) Soil liquid (dissolved form): Easily absorbed by crops
- 3) Soil solid (exchangeable or fixed form): See below



Modified from Yamaguchi (2012)

National Institute for Agro-Environmental Sciences



# Quantifying high affinity of $^{137}\text{Cs}^+$ to FES

## Radiocaesium Interception Potential

$$\text{RIP} = K_c^{\text{FES}}(\text{Cs-K}) \times [\text{FES}]$$

Selectivity coefficient of Cs to K for FES ( $\cong 1000$ )

Amount of FES per 1 kg soil

Measurement:

Mask negative charges other than FES by high conc  $\text{Ca}^{2+}$

→ Add  $\text{K}^+$  to adsorb to FES

→ Competitive adsorption between radio- $\text{Cs}^+$  &  $\text{K}^+$

Cremers et al. (1988) Nature

National Institute for Agro-Environmental Sciences



## Log TF vs log RIP relationship

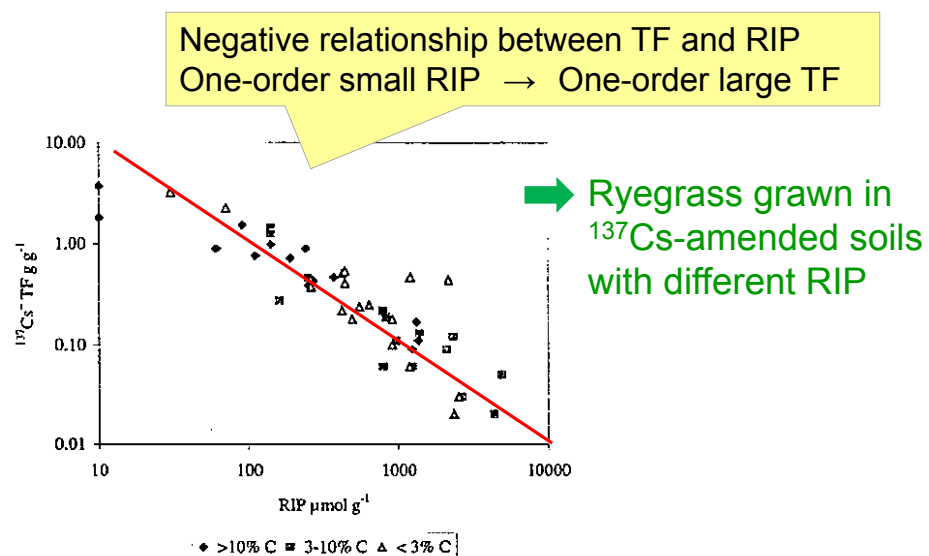


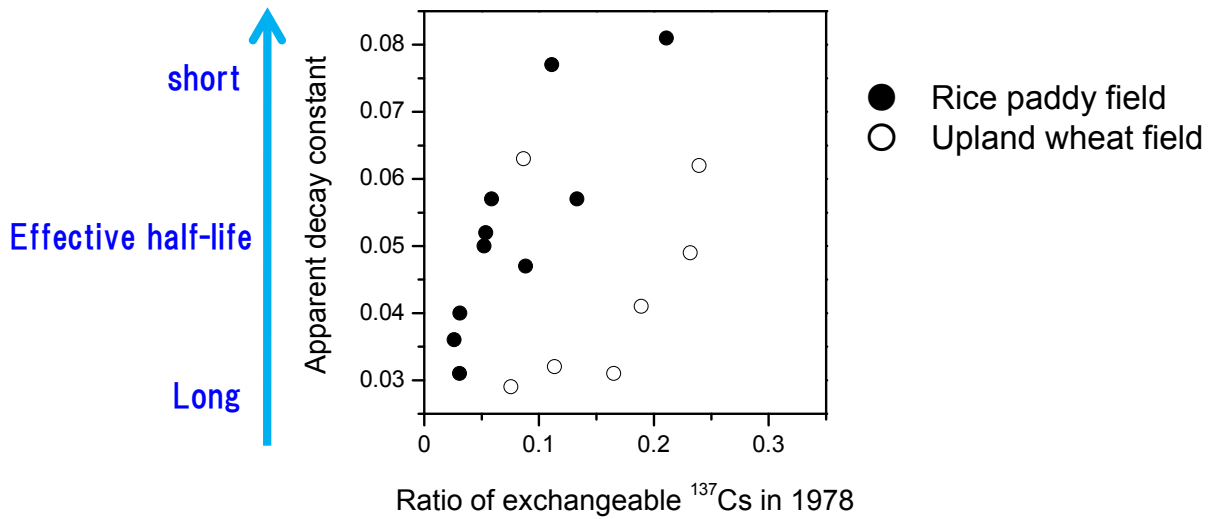
FIGURE 2. Log-log plot of rhizospheric  $^{137}\text{Cs}^+$  transfer factor (TF) versus the radiocaesium interception potential (RIP) in soil. The different symbols refer to the different categories of carbon content.

Delvaux et al. 2000. Environ Sci Technol

National Institute for Agro-Environmental Sciences

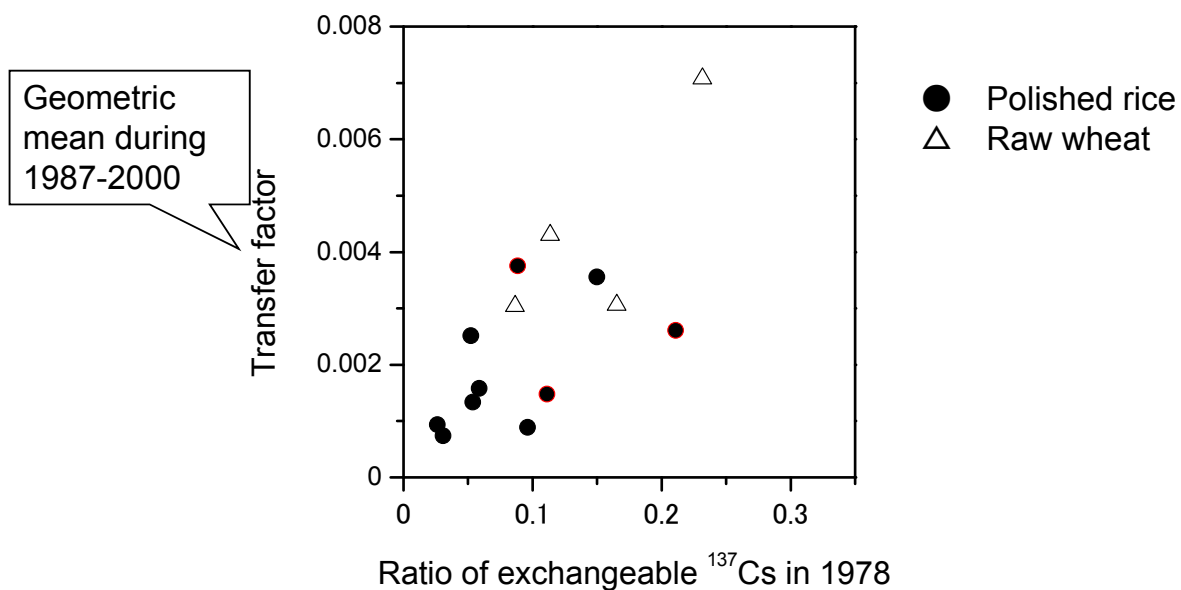


# Ex-<sup>137</sup>Cs/total-<sup>137</sup>Cs ratio affects effective half-life of <sup>137</sup>Cs



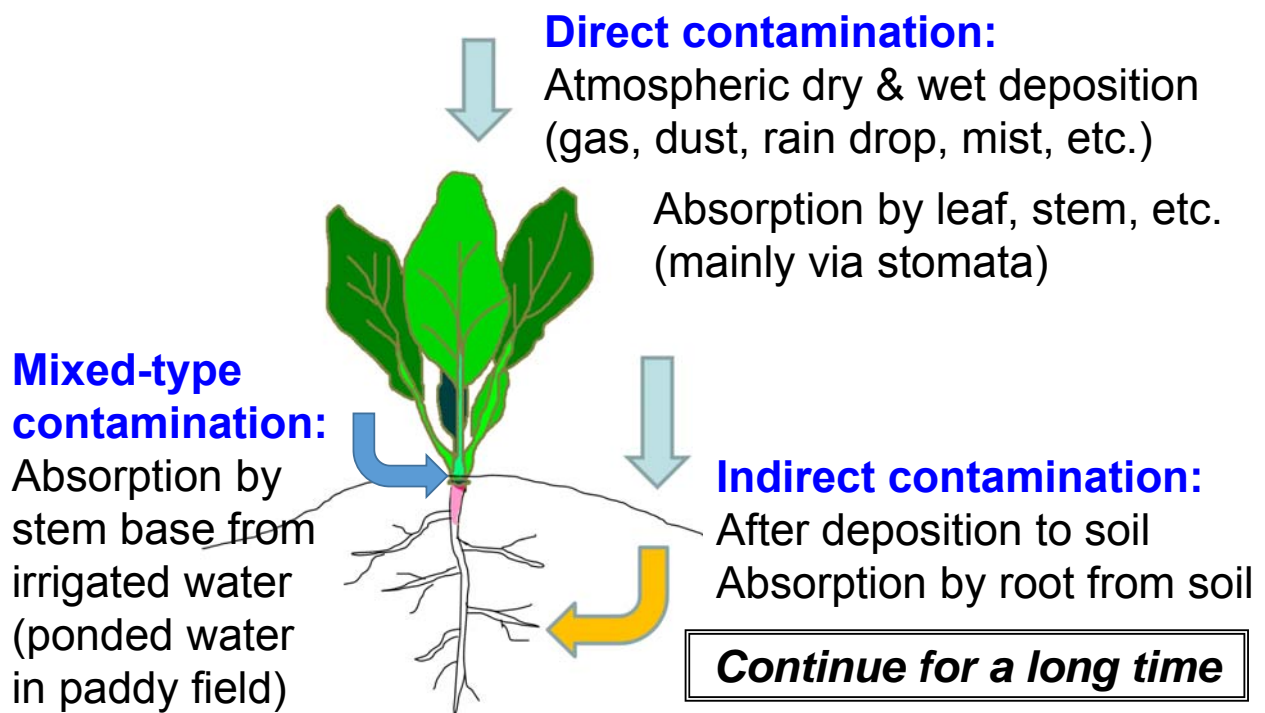
- Effective half-life of <sup>137</sup>Cs in farmland soil decreases with ex-<sup>137</sup>Cs/total-<sup>137</sup>Cs ratio
- Effective half-life of <sup>137</sup>Cs in rice paddy fields is shorter than upland wheat fields

# Ex-<sup>137</sup>Cs/total-<sup>137</sup>Cs ratio affects TF



TF increases with ex-<sup>137</sup>Cs/total-<sup>137</sup>Cs ratio

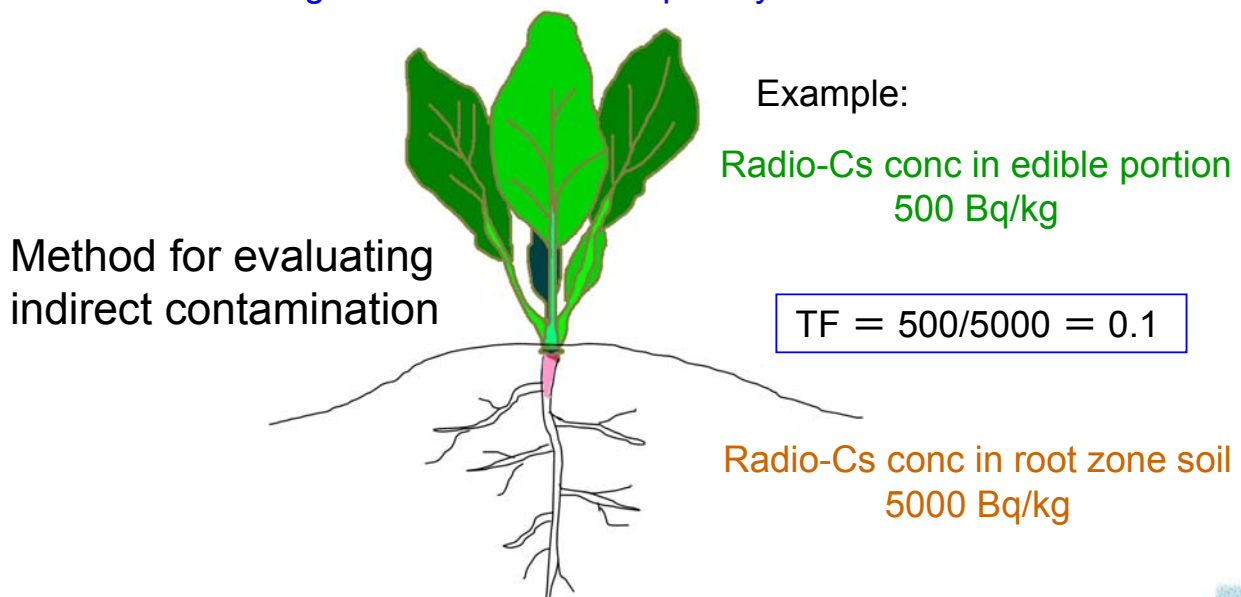
# Direct & indirect crop contamination



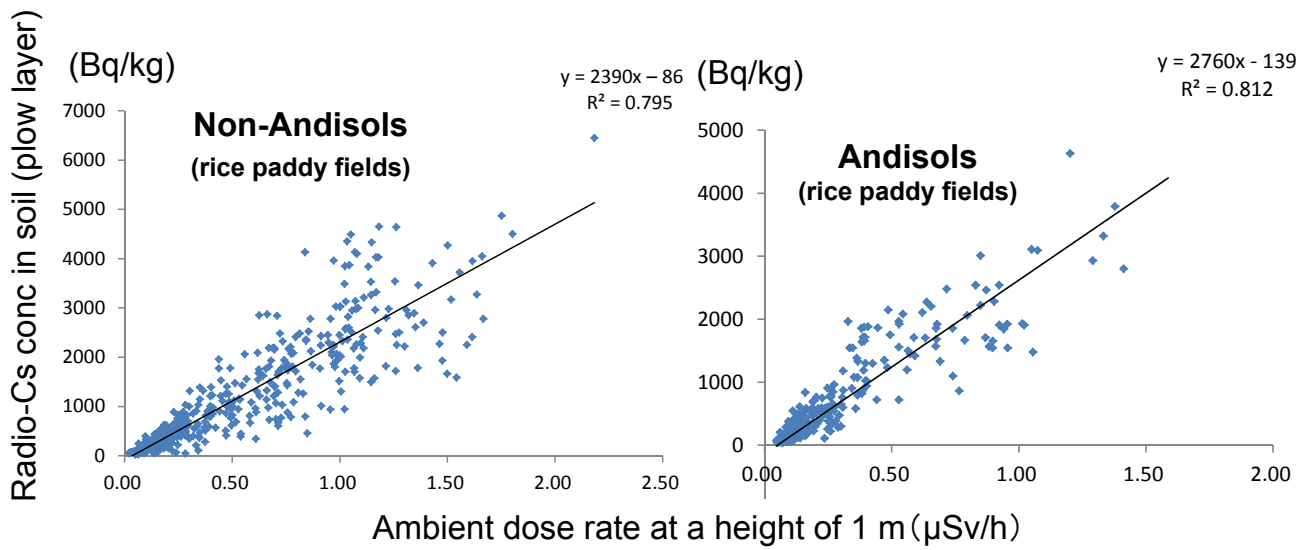
## Transfer factor (TF) from soil to crop

$$TF = \frac{\text{Radionuclide concentration in crop body (Bq/kg)}}{\text{Radionuclide concentration in soil (Bq/kg)}}$$

For estimating radio-Cs conc in crop body from that in root zone soil



# Radio-Cs conc in soil vs ambient dose rate



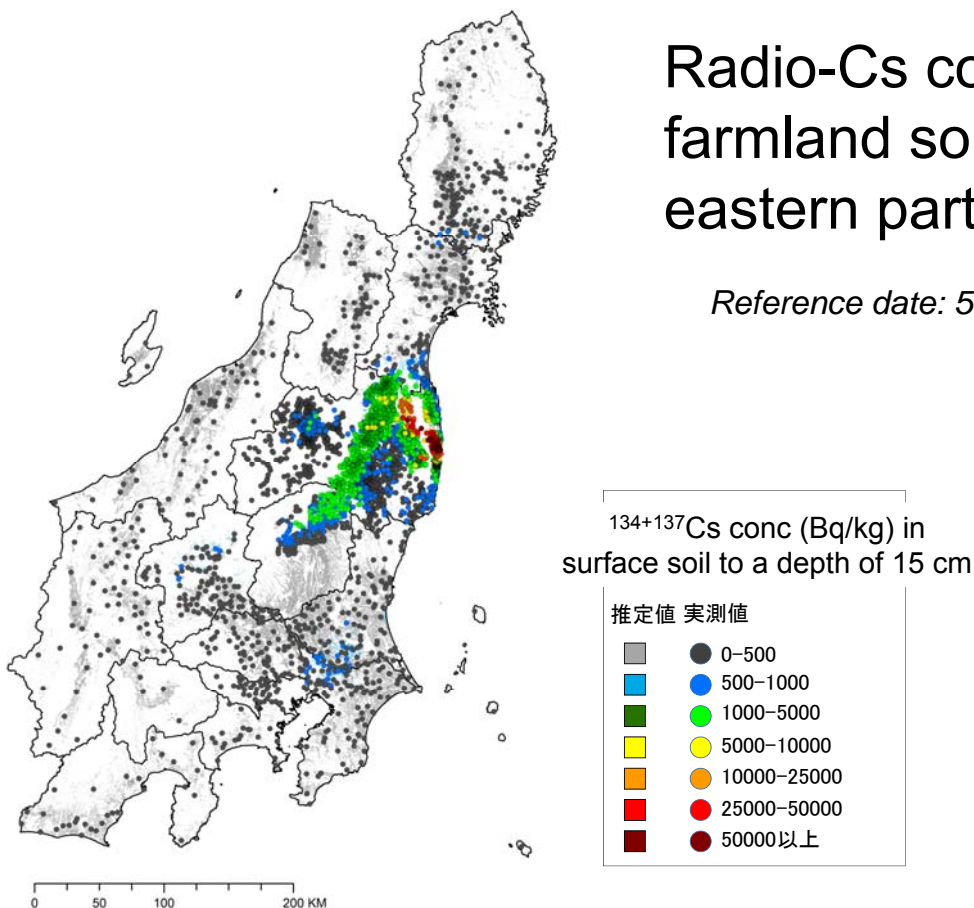
MAFF (2012)

National Institute for Agro-Environmental Sciences



# Radio-Cs conc in farmland soil in eastern part of Japan

Reference date: 5 November 2011



MAFF (2012)

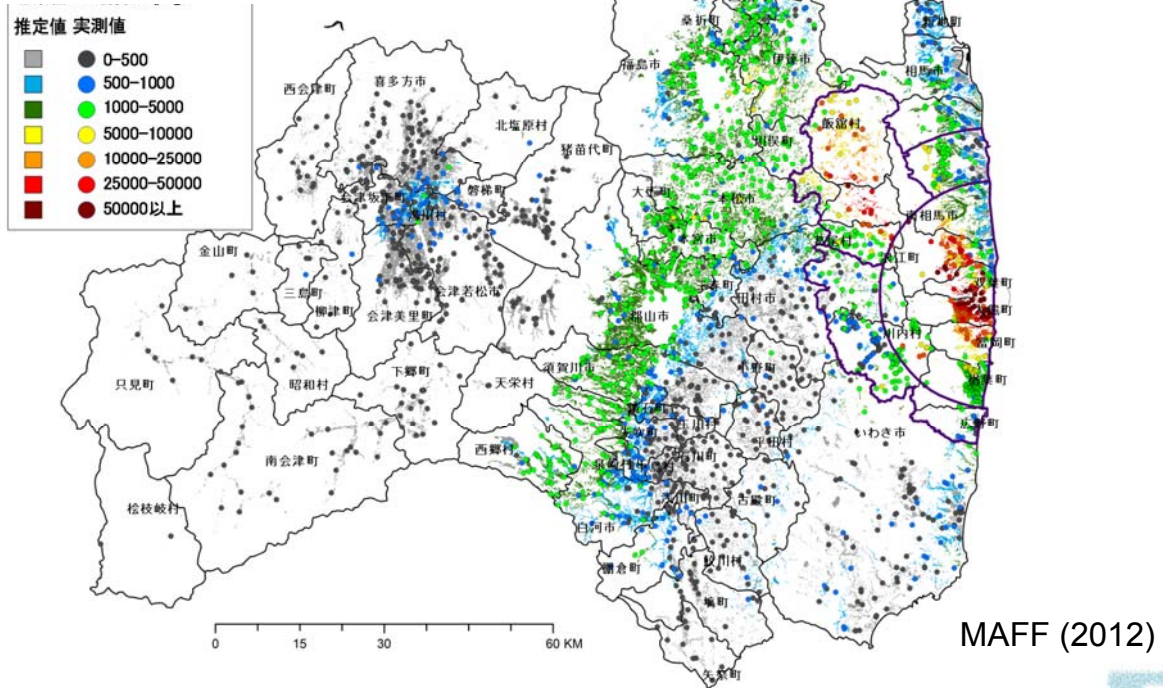
National Institute for Agro-Environmental Sciences



# Radio-Cs conc in farmland soil in Fukushima

Reference date: 5 November 2011

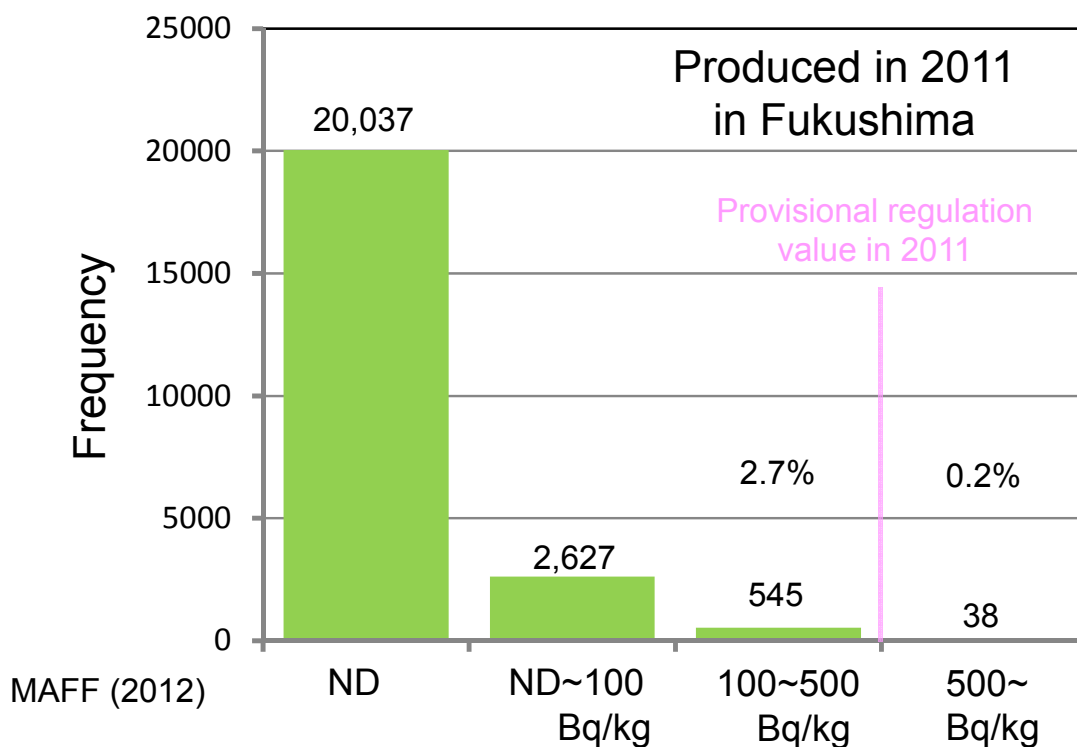
$^{134+137}\text{Cs}$  conc (Bq/kg) in surface soil to a depth of 15 cm



National Institute for Agro-Environmental Sciences



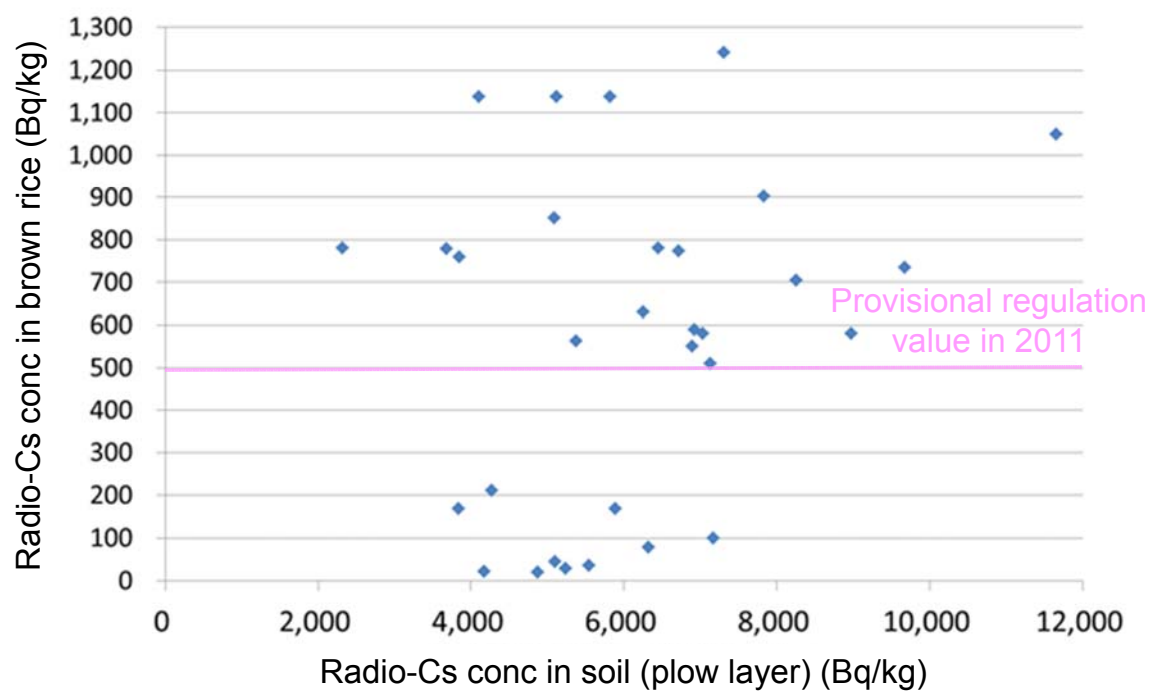
## Frequency distribution of radio-Cs conc in brown rice



National Institute for Agro-Environmental Sciences



## Radio-Cs conc in brown rice vs that in soil

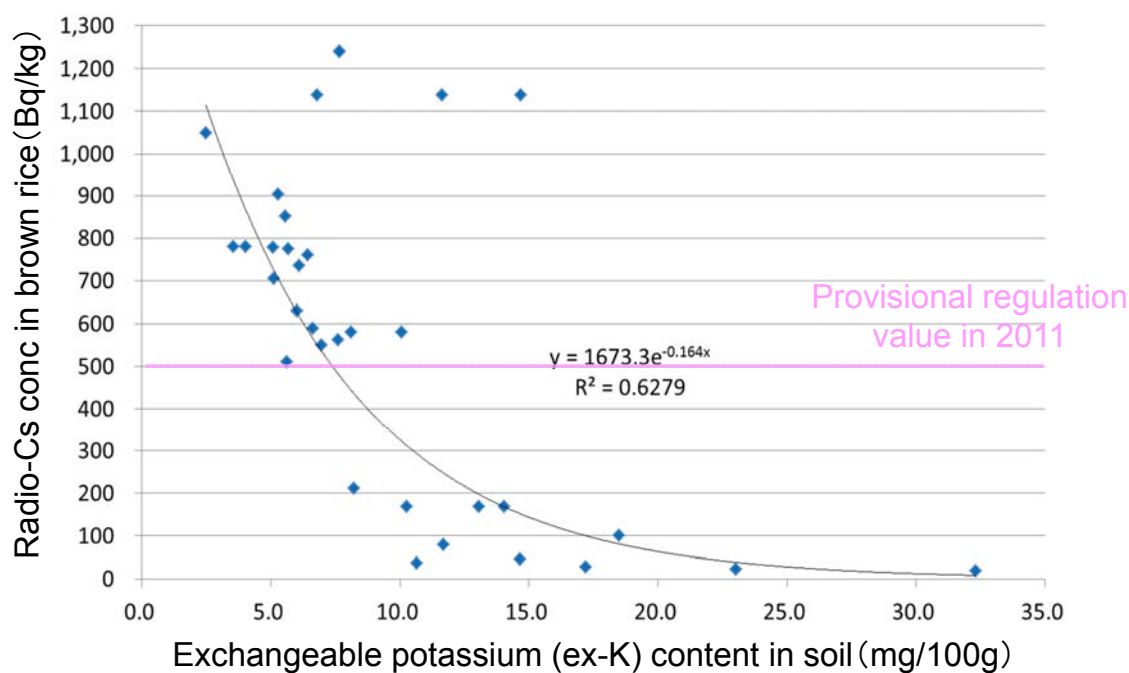


Fukushima Prefecture et al (2011)

*National Institute for Agro-Environmental Sciences*



## Soil ex-K mitigates radio-Cs conc in brown rice



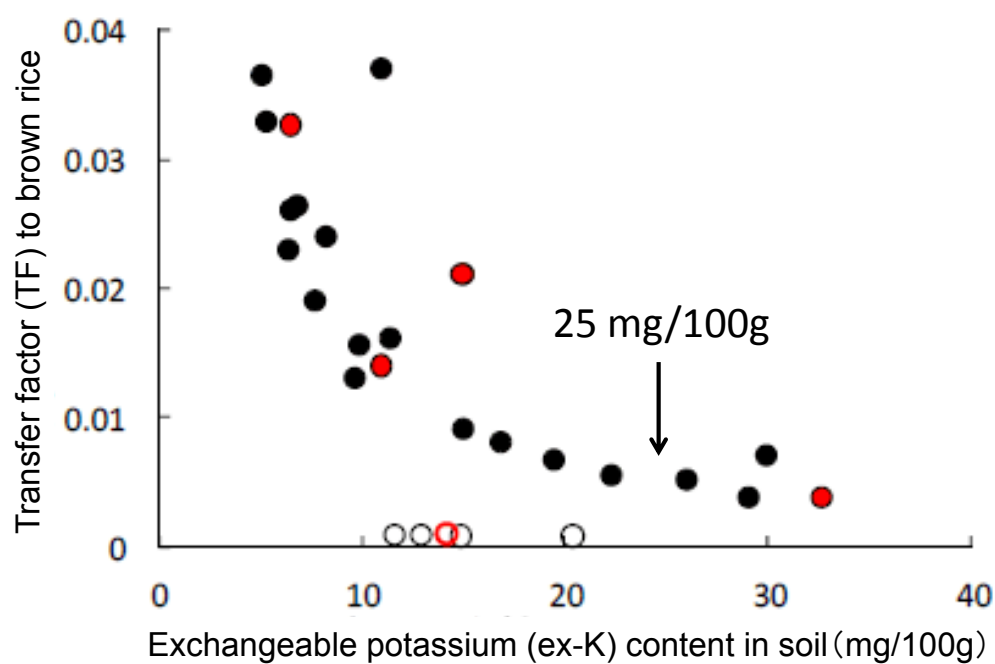
Fukushima Prefecture et al (2011)

*National Institute for Agro-Environmental Sciences*





## Soil ex-K mitigates TF to brown rice



NARO (2011)

*National Institute for Agro-Environmental Sciences*



## Radio-Cs monitoring at Farmlands in Fukushima



Dry & wet deposition sampler (right) & rain gauge (left)

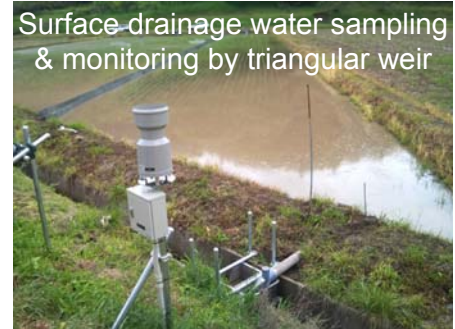
# Radio-Cs monitoring at farmlands in Fukushima

Rice paddy, upland vegetable, orchard, grassland, non-cropping rice paddy fields, etc.

Irrigation water supplied from mountain stream, spring water, large-scale irrigation system



Separate dissolved & suspended radio-Cs by filtering with a pore size of 0.025  $\mu\text{m}$



Tile drainage water sampling & flow meter



## Agriculture effects on riverine radio-Cs discharge

Cropped watershed



Paddy rice / soybean



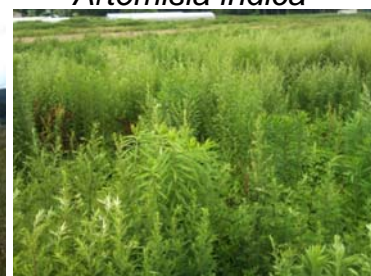
Uncropped watershed (prohibited)



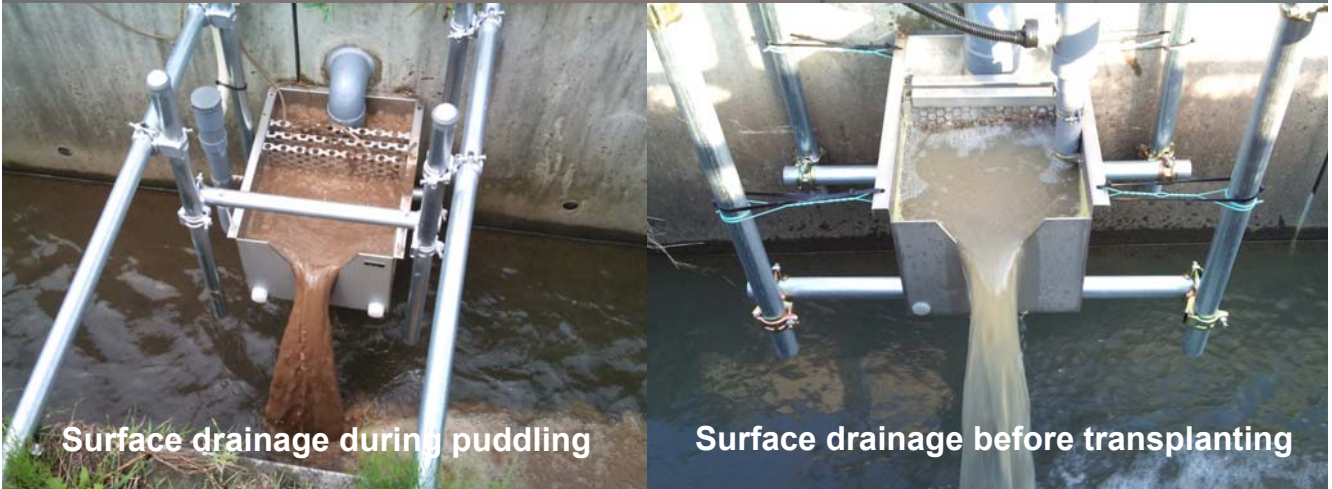
*Solidago altissima*



*Artemisia indica*



## Agricultural activities in rice paddy fields



### Summary ~ Current research needs

1. Effective half-life of radio-Cs in farmland soil (about 16 yr for paddy soil) is shorter than that of radiological one
2. Exchangeable K ( $>25$  mg/100 g) in paddy soil mitigates radio-Cs conc in brown rice (TF  $<0.01$ )
3. Radio-Cs recharge & discharge in farmland (rice paddy environment) occur mainly in suspended form
4. Dissolved radio-Cs is trace  $<1$  Bq/L; however, its effect on crop radio-Cs uptake (in edible portion) is unclear
5. Farmland to watershed-scale models should include dissolved & adsorbed radio-Cs in soil & water, organic matter decomposition, time-dependent fixation, etc.

NEW

http://aerap.dc.affrc.go.jp/

# Webサイト「農業環境と放射能汚染」のご案内

## トップページ

このウェブサイトは、土、水および農作物などの農業環境の放射能汚染に関する調査・研究成果や関連情報を提供するものです。放射能汚染についての多岐にわたる情報を集約・整理して、分かりやすく伝えることを目指しています。

**農業環境と放射能汚染**

トップページ 研究成果 用語集 刊行物 国際情報 新着・イベント情報 ガラリー

**新着情報**

- 20121105 放射能汚染 放射能汚染と農業に関する調査・研究成果の集約
- 20121102 放射能汚染 放射能汚染と農業に関する調査・研究成果の集約
- 20121024 放射能汚染 放射能汚染と農業に関する調査・研究成果の集約
- 20121022 放射能汚染 放射能汚染と農業に関する調査・研究成果の集約
- 20121017 放射能汚染 放射能汚染と農業に関する調査・研究成果の集約

**イベント**

- 20121008 放射能汚染 放射能汚染と農業に関する調査・研究成果の集約
- 20121005 放射能汚染 放射能汚染と農業に関する調査・研究成果の集約
- 20121002 放射能汚染 放射能汚染と農業に関する調査・研究成果の集約
- 20121001 放射能汚染 放射能汚染と農業に関する調査・研究成果の集約
- 20121001 放射能汚染 放射能汚染と農業に関する調査・研究成果の集約

**\*サイトの活用法\***

- 行政・研究機関から発信される新着情報
- 放射能と農業に関する研究会の開催情報
- 放射能汚染対策研究の成果情報
- 放射能と農業についての用語集
- 研究会要旨集や一般図書・パンフレット
- 国際機関の新着情報や資料
- 放射能研究に関する写真
- その他、放射能と農業の情報収集に役立つリンク先

## 研究成果

放射能汚染と農業に関する研究成果を、農環研、農研機構、放医研、原研、日本分析センター、福島県農総セ、東大など国内研究機関より収集。これらを研究対象ごとに分類し、カテゴリ検索が可能。

### 17のカテゴリ

「土壌」「水」「降下物」「穀物」「野菜」「果樹・樹園地」「畜産」「分析法」「モニタリング」「除染」「動態」「移行係数」「外部被ばく」「セシウム」「ストロンチウム」「ヨウ素」「その他核種」

### 「土壌」を検索すると

研究機関	年	種別	代表	P
IAES	2012	IAES	N Yamaguchi	128
農研機構	2012	農研機構	野村 隆夫	38
農研機構	2012	農研機構	野村 隆夫	43

## 用語集

放射線測定器や除染技術などの放射能汚染と農業に関する101の用語を、写真を用いて解説。



**用語集**

放射線測定器や除染技術などの放射能汚染と農業に関する101の用語を、写真を用いて解説。

放射線測定器の種類や用途、除染技術の種類や効果について詳しく解説しています。

## 刊行物

一般図書、ガイドライン、研究報告書、シンポジウム要旨集など。



## 関連リンク

農業環境における放射性物質の情報収集に役立つリンク先を整理。

**関連リンク**

農業環境における放射性物質の情報収集に役立つリンク先を整理。

- 放射能汚染と農業に関する調査・研究成果の集約
- 放射能汚染と農業に関する調査・研究成果の集約
- 放射能汚染と農業に関する調査・研究成果の集約

## 国際情報

IAEA、ICRPなどの国際機関が発行する資料など。

**国際情報**

IAEA、ICRPなどの国際機関が発行する資料など。

IAEAによる放射能汚染と農業に関する調査・研究成果の集約

## 新着・イベント情報

行政・研究機関の新着情報とイベント開催案内。

**新着・イベント情報**

行政・研究機関の新着情報とイベント開催案内。

放射能汚染と農業に関する調査・研究成果の集約

## ギャラリー

除染作業や放射線測定などの写真。

